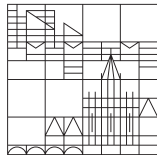


# Landau-Niveaus und Quanten-Hall-Effekt in Graphen

Hermann Böttcher

Universität  
Konstanz



22/11/2018

2018-11-21

Landau-Niveaus und Quanten-Hall-Effekt in Graphen

Landau-Niveaus und Quanten-Hall-Effekt in Graphen

Hermann Böttcher

Universität  
Konstanz



22/11/2018

## Landauniveaus

Energieaufspaltung durch Quantisierung der Ladungsträgerbewegung im Magnetfeld.

## └ Graphen - Einführung

- 2D Monoschicht aus C-Atomen - Zwei überlappende Dreiecksgitter
- Grundbaustein von Graphitstrukturen - Bilder folgen gleich
- Akademisches Material - Schmelztemperatur von Dünnschichten sinkt rapide mit kleiner werdenden Dicke
- In stabiler Form entdeckt - Erklärung: Wegen hoher interatomarer Bindungsenergie nicht anfällig für thermische Dislokationen und andere Kristalldefekte;  
Leicht gekrumpelt → Elastische Energie aber Unterdrückung thermischer Vibrationen
- Exzeptionelle kristalline und elektronische Qualität - Ladungsträger: Masselose Dirac-Fermionen

- 2D Monoschicht aus Kohlenstoffatomen in Bienenwabenstruktur

### └ Graphen - Einführung

- 2D Monoschicht aus C-Atomen - Zwei überlappende Dreiecksgitter
- Grundbaustein von Graphitstrukturen - Bilder folgen gleich
- Akademisches Material - Schmelztemperatur von Dünnschichten sinkt rapide mit kleiner werdender Dicke
- In stabiler Form entdeckt - Erklärung: Wegen hoher interatomarer Bindungsenergie nicht anfällig für thermische Dislokationen und andere Kristalldefekte;  
Leicht gekrumpelt → Elastische Energie aber Unterdrückung thermischer Vibrationen
- Exzeptionelle kristalline und elektronische Qualität - Ladungsträger: Masselose Dirac-Fermionen

- 2D Monoschicht aus Kohlenstoffatomen in Bienenwabenstruktur
- Grundbaustein aller andersdimensionalen Graphitstrukturen

### └ Graphen - Einführung

- 2D Monoschicht aus Kohlenstoffatomen in Bienenwabenstruktur
- Grundbaustein aller andersdimensionalen Graphitstrukturen

- 2D Monoschicht aus C-Atomen - Zwei überlappende Dreiecksgitter
- Grundbaustein von Graphitstrukturen - Bilder folgen gleich
- Akademisches Material - Schmelztemperatur von Dünnschichten sinkt rapide mit kleiner werdenden Dicke
- In stabiler Form entdeckt - Erklärung: Wegen hoher interatomarer Bindungsenergie nicht anfällig für thermische Dislokationen und andere Kristalldefekte;  
Leicht gekrumpelt → Elastische Energie aber Unterdrückung thermischer Vibrationen
- Exzeptionelle kristalline und elektronische Qualität - Ladungsträger: Masselose Dirac-Fermionen

- 2D Monoschicht aus Kohlenstoffatomen in Bienenwabenstruktur
- Grundbaustein aller andersdimensionalen Graphitstrukturen
- Zunächst für "akademisches Material gehalten" (thermodynamisch instabil)

### └ Graphen - Einführung

- 2D Monoschicht aus C-Atomen - Zwei überlappende Dreiecksgitter
- Grundbaustein von Graphitstrukturen - Bilder folgen gleich
- Akademisches Material - Schmelztemperatur von Dünnschichten sinkt rapide mit kleiner werdender Dicke
- In stabiler Form entdeckt - Erklärung: Wegen hoher interatomarer Bindungsenergie nicht anfällig für thermische Dislokationen und andere Kristalldefekte;  
Leicht gekrumpelt → Elastische Energie aber Unterdrückung thermischer Vibrationen
- Exzeptionelle kristalline und elektronische Qualität - Ladungsträger: Masselose Dirac-Fermionen

- 2D Monoschicht aus Kohlenstoffatomen in Bienenwabenstruktur
- Grundbaustein aller andersdimensionalen Graphitstrukturen
- Zunächst für "akademisches Material gehalten" (thermodynamisch instabil)

- 2D Monoschicht aus Kohlenstoffatomen in Bienenwabenstruktur
- Grundbaustein aller andersdimensionalen Graphitstrukturen
- Zunächst für "akademisches Material gehalten" (thermodynamisch instabil)
- 2004 als stabile Strukturen entdeckt

### └ Graphen - Einführung

- 2D Monoschicht aus C-Atomen - Zwei überlappende Dreiecksgitter
- Grundbaustein von Graphitstrukturen - Bilder folgen gleich
- Akademisches Material - Schmelztemperatur von Dünnschichten sinkt rapide mit kleiner werdenden Dicke
- In stabiler Form entdeckt - Erklärung: Wegen hoher interatomarer Bindungsenergie nicht anfällig für thermische Dislokationen und andere Kristalldefekte; Lecht gekrumpelt → Elastische Energie aber Unterdrückung thermischer Vibrationen
- Exeptionelle kristalline und elektronische Qualität - Ladungsträger: Masselose Dirac-Fermionen

- 2D Monoschicht aus Kohlenstoffatomen in Bienenwabenstruktur
- Grundbaustein aller andersdimensionalen Graphitstrukturen
- Zunächst für "akademisches Material gehalten" (thermodynamisch instabil)
- 2004 als stabile Strukturen entdeckt

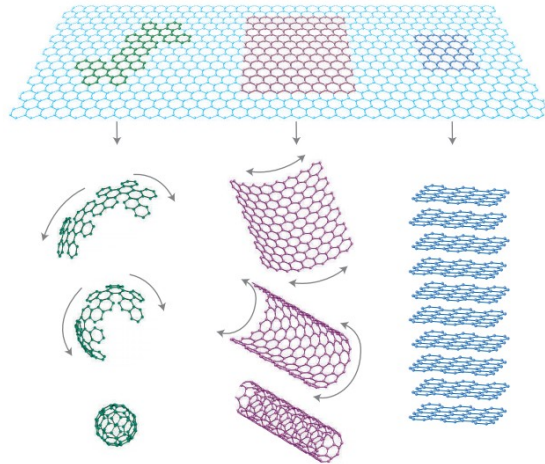
- 2D Monoschicht aus Kohlenstoffatomen in Bienenwabenstruktur
- Grundbaustein aller andersdimensionalen Graphitstrukturen
- Zunächst für "akademisches Material gehalten" (thermodynamisch instabil)
- 2004 als stabile Strukturen entdeckt
- Exeptionell hohe kristalline und elektronische Qualität

### └ Graphen - Einführung

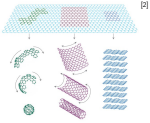
- 2D Monoschicht aus C-Atomen - Zwei überlappende Dreiecksgitter
- Grundbaustein von Graphitstrukturen - Bilder folgen gleich
- Akademisches Material - Schmelztemperatur von Dünnschichten sinkt rapide mit kleiner werdenden Dicke
- In stabiler Form entdeckt - Erklärung: Wegen hoher interatomarer Bindungsenergie nicht anfällig für thermische Dislokationen und andere Kristalldefekte; Leicht gekrumpelt → Elastische Energie aber Unterdrückung thermischer Vibrationen
- Exeptionelle kristalline und elektronische Qualität - Ladungsträger: Masselose Dirac-Fermionen

- 2D Monoschicht aus Kohlenstoffatomen in Bienenwabenstruktur
- Grundbaustein aller andersdimensionalen Graphitstrukturen
- Zunächst für "akademisches Material gehalten" (thermodynamisch instabil)
- 2004 als stabile Strukturen entdeckt
- Exeptionell hohe kristalline und elektronische Qualität





[2]



- nanotubes (1D), Fullerene (0D), Graphit (3D)
- Monolagen bisher kaum herstellbar → wie viele Lagen können als 2D Struktur betrachtet werden?
- Elektronische Struktur ändert sich rapide bei Erreichen von 10 Schichten  
Bis zu 2 Schichten → 1 Ladungsträgertyp, 1 Lochtyp (simples elektronisches Spektrum);  
3+ Schichten → mehrere Ladungsträger- und Lochtypen (kompliziertes elektronisches Spektrum);
- $\Rightarrow$  1, 2, 3+10 Lagenstrukturen in 3 2D Kristalle unterscheidbar



Produktion

Abspalten mithilfe von Klebeband

# Produktion

Abspalten mithilfe von Klebeband

20-100 Lagen

2018-11-21

Landau-Niveaus und Quanten-Hall-Effekt in Graphen

└ Produktion

Produktion
Abspalten mithilfe von Klebeband
20-100 Lagen

# Produktion

Abspalten mithilfe von Klebeband

20-100 Lagen

Chemische Dampfablagerung auf Metallsubstraten

2018-11-21

Landau-Niveaus und Quanten-Hall-Effekt in Graphen

└ Produktion

Produktion
Abspalten mithilfe von Klebeband
20-100 Lagen
Chemische Dampfablagerung auf Metallsubstraten

# Produktion

## Abspalten mithilfe von Klebeband

20-100 Lagen

## Chemische Dampfablagerung auf Metallsubstraten

- Monolage
- Erhitztes Metallsubstrat ( $T > 1000\text{ }^{\circ}\text{C}$ ) wird Dampf (z. B.  $\text{C}_2\text{H}_4$ ) ausgesetzt
- Moleküle spalten auf, C-Atome werden gebunden, H-Atome verdampfen

2018-11-21

## Landau-Niveaus und Quanten-Hall-Effekt in Graphen

└ Produktion

### Produktion

#### Abspalten mithilfe von Klebeband

20-100 Lagen

#### Chemische Dampfablagerung auf Metallsubstraten

- Monolage
- Erhitztes Metallsubstrat ( $T > 1000\text{ }^{\circ}\text{C}$ ) wird Dampf (z. B.  $\text{C}_2\text{H}_4$ ) ausgesetzt
- Moleküle spalten auf, C-Atome werden gebunden, H-Atome verdampfen

## └ Quantenelektrodynamik in Graphen I

## Quantenelektrodynamik in Graphen I

**Besonderheiten**

- Gebundene  $e^-$ : Nicht relativistische
- Im Potential des Kristallgitters: Relativistisch
- Masselose relativistische Ladungsträger  
→ Dirac-Gleichung, nicht Schrödinger-Gleichung beschreibt die elektrischen Eigenschaften am einfachsten
- Quasiteilchencharakter vergleichbar mit geladenen Neutrinos
- Anstelle der Lichtgeschwindigkeit  $c$  tritt die Fermi-Geschwindigkeit  $v_F$  der  $e^-$   
→ Weil QED Phänomäne proportional zur Geschwindigkeit der Teilchen Effekte in Graphen verstärkt!

## Besonderheiten in Graphen

2018-11-21

## └ Quantenelektrodynamik in Graphen I

### Besonderheiten

- Gebundene  $e^-$ : Nicht relativistische
- Im Potential des Kristallgitters: Relativistisch
- Masselose relativistische Ladungsträger  
→ Dirac-Gleichung, nicht Schrödinger-Gleichung beschreibt die elektrischen Eigenschaften am einfachsten
- Quasiteilchencharakter vergleichbar mit geladenen Neutrinos
- Anstelle der Lichtgeschwindigkeit  $c$  tritt die Fermi-Geschwindigkeit  $v_F$  der  $e^-$   
→ Weil QED Phänomäne proportional zur Geschwindigkeit der Teilchen Effekte in Graphen verstärkt!



## Besonderheiten in Graphen

- Gebundene  $e^-$  im C-Atom  $\rightarrow$  nicht relativistisch

### └ Quantenelektrodynamik in Graphen I

## Besonderheiten

- Gebundene  $e^-$ : Nicht relativistische
- Im Potential des Kristallgitters: Relativistisch
- Masselose relativistische Ladungsträger  
 $\rightarrow$  Dirac-Gleichung, nicht Schrödinger-Gleichung beschreibt die elektrischen Eigenschaften am einfachsten
- Quasiteilchencharakter vergleichbar mit geladenen Neutrinos
- Anstelle der Lichtgeschwindigkeit  $c$  tritt die Fermi-Geschwindigkeit  $v_F$  der  $e^-$   
 $\rightarrow$  Weil QED Phänomäne proportional zur Geschwindigkeit der Teilchen Effekte in Graphen verstärkt!

## Besonderheiten in Graphen

- Gebundene  $e^-$  im C-Atom  $\rightarrow$  nicht relativistisch
- $e^-$  im periodischen Potential der Kristallstruktur von Graphen  $\rightarrow$  **relativistisch**

### └ Quantenelektrodynamik in Graphen I

## Besonderheiten

- Gebundene  $e^-$ : Nicht relativistische
- Im Potential des Kristallgitters: Relativistisch
- Masselose relativistische Ladungsträger  
 $\rightarrow$  Dirac-Gleichung, nicht Schrödinger-Gleichung beschreibt die elektrischen Eigenschaften am einfachsten
- Quasiteilchencharakter vergleichbar mit geladenen Neutrinos
- Anstelle der Lichtgeschwindigkeit  $c$  tritt die Fermi-Geschwindigkeit  $v_F$  der  $e^-$   
 $\rightarrow$  Weil QED Phänomäne proportional zur Geschwindigkeit der Teilchen Effekte in Graphen verstärkt!

### Besonderheiten in Graphen

- Gebundene  $e^-$  im C-Atom  $\rightarrow$  nicht relativistisch
- $e^-$  im periodischen Potential der Kristallstruktur von Graphen  $\rightarrow$  **relativistisch**

## Besonderheiten in Graphen

- Gebundene  $e^-$  im C-Atom  $\rightarrow$  nicht relativistisch
- $e^-$  im periodischen Potential der Kristallstruktur von Graphen  $\rightarrow$  **relativistisch**
- Masselose relativistische Teilchen als Ladungsträger (bei kleinen Energien!)

### └ Quantenelektrodynamik in Graphen I

#### Besonderheiten in Graphen

- Gebundene  $e^-$  im C-Atom  $\rightarrow$  nicht relativistisch
- $e^-$  im periodischen Potential der Kristallstruktur von Graphen  $\rightarrow$  **relativistisch**
- Masselose relativistische Teilchen als Ladungsträger (bei kleinen Energien!)

## Besonderheiten

- Gebundene  $e^-$ : Nicht relativistische
- Im Potential des Kristallgitters: Relativistisch
- Masselose relativistische Ladungsträger  
 $\rightarrow$  Dirac-Gleichung, nicht Schrödinger-Gleichung beschreibt die elektrischen Eigenschaften am einfachsten
- Quasiteilchencharakter vergleichbar mit geladenen Neutrinos
- Anstelle der Lichtgeschwindigkeit  $c$  tritt die Fermi-Geschwindigkeit  $v_F$  der  $e^-$   
 $\rightarrow$  Weil QED Phänomene proportional zur Geschwindigkeit der Teilchen Effekte in Graphen verstärkt!

## Besonderheiten in Graphen

- Gebundene  $e^-$  im C-Atom  $\rightarrow$  nicht relativistisch
- $e^-$  im periodischen Potential der Kristallstruktur von Graphen  $\rightarrow$  **relativistisch**
- Masselose relativistische Teilchen als Ladungsträger (bei kleinen Energien!)
- Quasiteilchen; durch Dirac-Gleichung beschrieben

### └ Quantenelektrodynamik in Graphen I

## Besonderheiten

- Gebundene  $e^-$ : Nicht relativistische
- Im Potential des Kristallgitters: Relativistisch
- Masselose relativistische Ladungsträger  
 $\rightarrow$  Dirac-Gleichung, nicht Schrödinger-Gleichung beschreibt die elektrischen Eigenschaften am einfachsten
- Quasiteilchencharakter vergleichbar mit geladenen Neutrinos
- Anstelle der Lichtgeschwindigkeit  $c$  tritt die Fermi-Geschwindigkeit  $v_F$  der  $e^-$   
 $\rightarrow$  Weil QED Phänomäne proportional zur Geschwindigkeit der Teilchen Effekte in Graphen verstärkt!

### Besonderheiten in Graphen

- Gebundene  $e^-$  im C-Atom  $\rightarrow$  nicht relativistisch
- $e^-$  im periodischen Potential der Kristallstruktur von Graphen  $\rightarrow$  **relativistisch**
- Masselose relativistische Teilchen als Ladungsträger (bei kleinen Energien!)
- Quasiteilchen; durch Dirac-Gleichung beschrieben

## Besonderheiten in Graphen

- Gebundene  $e^-$  im C-Atom  $\rightarrow$  nicht relativistisch
- $e^-$  im periodischen Potential der Kristallstruktur von Graphen  $\rightarrow$  **relativistisch**
- Masselose relativistische Teilchen als Ladungsträger (bei kleinen Energien!)
- Quasiteilchen; durch Dirac-Gleichung beschrieben
- $v_F$  statt  $c$

### └ Quantenelektrodynamik in Graphen I

#### Besonderheiten in Graphen

- Gebundene  $e^-$  im C-Atom  $\rightarrow$  nicht relativistisch
- $e^-$  im periodischen Potential der Kristallstruktur von Graphen  $\rightarrow$  **relativistisch**
- Masselose relativistische Teilchen als Ladungsträger (bei kleinen Energien!)
- Quasiteilchen; durch Dirac-Gleichung beschrieben
- $v_F$  statt  $c$

## Besonderheiten

- Gebundene  $e^-$ : Nicht relativistische
- Im Potential des Kristallgitters: Relativistisch
- Masselose relativistische Ladungsträger  
 $\rightarrow$  Dirac-Gleichung, nicht Schrödinger-Gleichung beschreibt die elektrischen Eigenschaften am einfachsten
- Quasiteilchencharakter vergleichbar mit geladenen Neutrinos
- Anstelle der Lichtgeschwindigkeit  $c$  tritt die Fermi-Geschwindigkeit  $v_F$  der  $e^-$   
 $\rightarrow$  Weil QED Phänomäne proportional zur Geschwindigkeit der Teilchen Effekte in Graphen verstärkt!

## Der Hamiltonian für eine Monolage

2018-11-21

### └ Quantenelektrodynamik in Graphen II

### Hamiltonian für Monolage

- Bienenwabenstruktur entspricht zwei überlagerten Dreiecksgittern  
→ Pseudospin;  $\vec{\sigma}$ -zweidimensionale Pauli-Matrix,  $\vec{k}$ -Wellenvektor
- $\vec{\sigma}$  koppelt mit  $\vec{k} \Rightarrow$  entgegengesetzte Wellenvektoren  $k$  zeigen das gleiche elektronische Spektrum
- Spin der  $e^-$  erhält extra Term im Hamiltonian
- Quantenelektrodynamische Phenomäne meist proportional zu  $c$
- **Quantenelektrodynamische Phenomäne dominieren Spin-Effekte in Graphen!**

# Quantenelektrodynamik in Graphen II

## Der Hamiltonian für eine Monolage

$e^-$  entstammen einem der beiden Sub(-dreiecks-)gitter der Bienenwabenstruktur

2018-11-21

## Landau-Niveaus und Quanten-Hall-Effekt in Graphen

### └ Quantenelektrodynamik in Graphen II

## Hamiltonian für Monolage

- Bienenwabenstruktur entspricht zwei überlagerten Dreiecksgittern  
→ Pseudospin;  $\vec{\sigma}$ -zweidimensionale Pauli-Matrix,  $\vec{k}$ -Wellenvektor
- $\vec{\sigma}$  koppelt mit  $\vec{k} \Rightarrow$  entgegengesetzte Wellenvektoren  $k$  zeigen das gleiche elektronische Spektrum
- Spin der  $e^-$  erhält extra Term im Hamiltonian
- Quantenelektrodynamische Phenomäne meist proportional zu  $c$
- **Quantenelektrodynamische Phenomäne dominieren Spin-Effekte in Graphen!**

# Quantenelektrodynamik in Graphen II

## Der Hamiltonian für eine Monolage

$e^-$  entstammen einem der beiden Sub(-dreiecks-)gitter der Bienenwabenstruktur  
→ *Pseudospin* wird eingeführt

2018-11-21

## Landau-Niveaus und Quanten-Hall-Effekt in Graphen

### └ Quantenelektrodynamik in Graphen II

## Hamiltonian für Monolage

- Bienenwabenstruktur entspricht zwei überlagerten Dreiecksgittern  
→ Pseudospin;  $\vec{\sigma}$ -zweidimensionale Pauli-Matrix,  $\vec{k}$ -Wellenvektor
- $\vec{\sigma}$  koppelt mit  $\vec{k} \Rightarrow$  entgegengesetzte Wellenvektoren  $k$  zeigen das gleiche elektronische Spektrum
- Spin der  $e^-$  erhält extra Term im Hamiltonian
- Quantenelektrodynamische Phenomäne meist proportional zu  $c$
- **Quantenelektrodynamische Phenomäne dominieren Spin-Effekte in Graphen!**



## Der Hamiltonian für eine Monolage

$e^-$  entstammen einem der beiden Sub(-dreiecks-)gitter der Bienenwabenstruktur  
→ *Pseudospin* wird eingeführt

$$\hat{H}_1 = \hbar v_F \begin{bmatrix} 0 & k_x - ik_y \\ k_x + ik_y & 0 \end{bmatrix} = \hbar v_F \vec{\sigma} \vec{k}$$

### └ Quantenelektrodynamik in Graphen II

## Hamiltonian für Monolage

- Bienenwabenstruktur entspricht zwei überlagerten Dreiecksgittern  
→ Pseudospin;  $\vec{\sigma}$ -zweidimensionale Pauli-Matrix,  $\vec{k}$ -Wellenvektor
- $\vec{\sigma}$  koppelt mit  $\vec{k} \Rightarrow$  entgegengesetzte Wellenvektoren  $k$  zeigen das gleiche elektronische Spektrum
- Spin der  $e^-$  erhält extra Term im Hamiltonian
- Quantenelektrodynamische Phenomäne meist proportional zu  $c$
- **Quantenelektrodynamische Phenomäne dominieren Spin-Effekte in Graphen!**

# Quantenelektrodynamik in Graphen II

## Der Hamiltonian für eine Monolage

$e^-$  entstammen einem der beiden Sub(-dreiecks-)gitter der Bienenwabenstruktur  
→ *Pseudospin* wird eingeführt

$$\hat{H}_1 = \hbar v_F \begin{bmatrix} 0 & k_x - ik_y \\ k_x + ik_y & 0 \end{bmatrix} = \hbar v_F \vec{\sigma} \vec{k}$$

## Wert von Graphen für die Forschung

Quantenelektrodynamische Phenomäne  $\frac{c}{v_F} \approx 300$  mal stärker in Graphen als bisher in anderen Materialien observiert!

## Quantenelektrodynamik in Graphen II

#### Der Hamiltonian für eine Monolage

$e^-$  entstammen einem der beiden Sub(-dreiecks-)gitter der Bienenwabenstruktur  
→ Pseudospin wird eingeführt

$$\hat{H}_1 = \hbar v_F \begin{bmatrix} 0 & k_x - ik_y \\ k_x + ik_y & 0 \end{bmatrix} = \hbar v_F \vec{\sigma} \vec{k}$$

#### Wert von Graphen für die Forschung

Quantenelektrodynamische Phenomäne  $\frac{c}{v_F} \approx 300$  mal stärker in Graphen als bisher in anderen Materialien observiert!

## Hamiltonian für Monolage

- Bienenwabenstruktur entspricht zwei überlagerten Dreiecksgittern  
→ Pseudospin;  $\vec{\sigma}$ -zweidimensionale Pauli-Matrix,  $\vec{k}$ -Wellenvektor
- $\vec{\sigma}$  koppelt mit  $\vec{k} \Rightarrow$  entgegengesetzte Wellenvektoren  $k$  zeigen das gleiche elektronische Spektrum
- Spin der  $e^-$  erhält extra Term im Hamiltonian
- Quantenelektrodynamische Phenomäne meist proportional zu  $c$
- **Quantenelektrodynamische Phenomäne dominieren Spin-Effekte in Graphen!**

└ Chiralität

## Definition

Zerlegung von Dirac-Spinoren in orthogonale Zustände, die unter Paritätsoperationen ineinander übergehen.

2018-11-21

## └ Chiralität

## Definition

Zerlegung von Dirac-Spinoren in orthogonale Zustände, die unter Paritätsoperationen ineinander übergehen.

## Von Graphen

Chiralität
Definition
Zerlegung von Dirac-Spinoren in orthogonale Zustände, die unter Paritätsoperationen ineinander übergehen.
Von Graphen

## Definition

Zerlegung von Dirac-Spinoren in orthogonale Zustände, die unter Paritätsoperationen ineinander übergehen.

## Von Graphen

- Projektion von  $\vec{\sigma}$  auf  $\vec{k}$

### └ Chiralität

#### Definition

Zerlegung von Dirac-Spinoren in orthogonale Zustände, die unter Paritätsoperationen ineinander übergehen.

#### Von Graphen

- Projektion von  $\vec{\sigma}$  auf  $\vec{k}$

## Definition

Zerlegung von Dirac-Spinoren in orthogonale Zustände, die unter Paritätsoperationen ineinander übergehen.

## Von Graphen

- Projektion von  $\vec{\sigma}$  auf  $\vec{k}$
- Positiv für Elektronen, negativ für Löcher

### └ Chiralität

#### Definition

Zerlegung von Dirac-Spinoren in orthogonale Zustände, die unter Paritätsoperationen ineinander übergehen.

#### Von Graphen

- Projektion von  $\vec{\sigma}$  auf  $\vec{k}$
- Positiv für Elektronen, negativ für Löcher

## Definition

Zerlegung von Dirac-Spinoren in orthogonale Zustände, die unter Paritätsoperationen ineinander übergehen.

## Von Graphen

- Projektion von  $\vec{\sigma}$  auf  $\vec{k}$
- Positiv für Elektronen, negativ für Löcher
- Kontext:  $k$  Elektronen,  $-k$  Löcher

### └ Chiralität

## Parität

- Transformation  $(t, x, y, z) \rightarrow (t, -x, -y, -z)$
- Parität einer Größe *positiv*, falls invariant
- Parität einer Größe *negativ*, falls Vorzeichenwechsel

### Definition

Zerlegung von Dirac-Spinoren in orthogonale Zustände, die unter Paritätsoperationen ineinander übergehen.

### Von Graphen

- Projektion von  $\vec{\sigma}$  auf  $\vec{k}$
- Positiv für Elektronen, negativ für Löcher
- Kontext:  $k$  Elektronen,  $-k$  Löcher



# Landauniveaus I

2018-11-21 Landau-Niveaus und Quanten-Hall-Effekt in Graphen

└ Landauniveaus I

Landauniveaus I

# Landauniveaus I

- Energiequantelung von Ladungsträgern im Magnetfeld

# Landauniveaus I

- Energiequantelung von Ladungsträgern im Magnetfeld
- Bewegung orthogonal zum Magnetfeld auf Kreisbahnen

2018-11-21

## Landau-Niveaus und Quanten-Hall-Effekt in Graphen

└ Landauniveaus I

Landauniveaus I

- Energiequantelung von Ladungsträgern im Magnetfeld
- Bewegung orthogonal zum Magnetfeld auf Kreisbahnen

# Landauniveaus I

- Energiequantelung von Ladungsträgern im Magnetfeld
- Bewegung orthogonal zum Magnetfeld auf Kreisbahnen
- Quantisierte Kreisbahnen wegen quantisiertem Spin

2018-11-21

## Landau-Niveaus und Quanten-Hall-Effekt in Graphen

└ Landauniveaus I

Landauniveaus I

- Energiequantelung von Ladungsträgern im Magnetfeld
- Bewegung orthogonal zum Magnetfeld auf Kreisbahnen
- Quantisierte Kreisbahnen wegen quantisiertem Spin

# Landauniveaus I

- Energiequantelung von Ladungsträgern im Magnetfeld
- Bewegung orthogonal zum Magnetfeld auf Kreisbahnen
- Quantisierte Kreisbahnen wegen quantisiertem Spin

$$E_n^{\text{Landau}} = \left(n + \frac{1}{2}\right) \hbar \omega_c + \frac{\hbar^2 k_z^2}{2m}$$

2018-11-21

## Landau-Niveaus und Quanten-Hall-Effekt in Graphen

### └ Landauniveaus I

#### Landauniveaus I

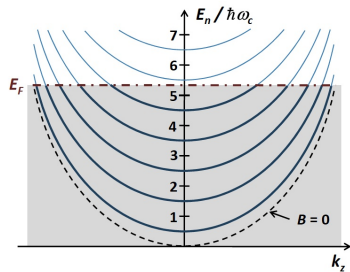
- Energiequantelung von Ladungsträgern im Magnetfeld
- Bewegung orthogonal zum Magnetfeld auf Kreisbahnen
- Quantisierte Kreisbahnen wegen quantisiertem Spin

$$E_n^{\text{Landau}} = \left(n + \frac{1}{2}\right) \hbar \omega_c + \frac{\hbar^2 k_z^2}{2m}$$

# Landauniveaus I

- Energiequantelung von Ladungsträgern im Magnetfeld
- Bewegung orthogonal zum Magnetfeld auf Kreisbahnen
- Quantisierte Kreisbahnen wegen quantisiertem Spin

$$E_n^{\text{Landau}} = \left(n + \frac{1}{2}\right) \hbar \omega_c + \frac{\hbar^2 k_z^2}{2m}$$



[3]

2018-11-21

## Landau-Niveaus und Quanten-Hall-Effekt in Graphen

### └ Landauniveaus I

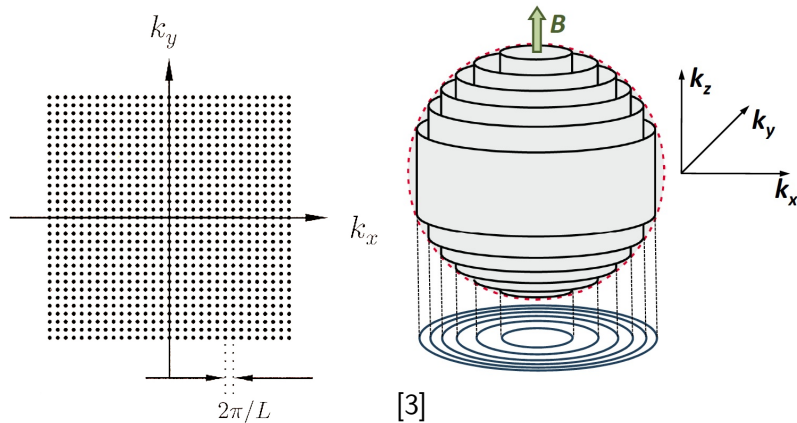
#### Landauniveaus I

- Energiequantelung von Ladungsträgern im Magnetfeld
  - Bewegung orthogonal zum Magnetfeld auf Kreisbahnen
  - Quantisierte Kreisbahnen wegen quantisiertem Spin
- $$E_n^{\text{Landau}} = \left(n + \frac{1}{2}\right) \hbar \omega_c + \frac{\hbar^2 k_z^2}{2m}$$
- [3]



- Landau Niveaus → Energiequantelung von Ladungsträgern im Magnetfeld
- Bewegung orthogonal zum Magnetfeld auf quantisierten Kreisbahnen
- Kreisbahnen quantisiert wegen quantisiertem Spin
- Plot der Energien

# Landauniveaus II



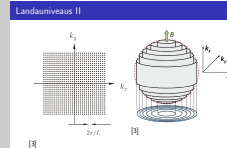
[3]



## Landau-Niveaus und Quanten-Hall-Effekt in Graphen

2018-11-21

### └ Landauniveaus II



- Zustände im  $k$ -Raum  $\rightarrow$  im dreidimensionalen durch Fermi-Kugel beschränkt
- Landau-Zylinder im dreidimensionalen  $k$ -Raum  $\rightarrow$  Kreisbahnen mit variablem  $k_z$  parallel zum Magnetfeld

# Landauniveaus in Graphen I

## Normale Landauniveaus

$$E_n = \left(n + \frac{1}{2}\right) \hbar \omega_c$$

## Monolage

$$E_n = \text{sgn}(n) \sqrt{2e\hbar v_f^2 |n| B}$$

## Doppellage

$$E_n = \text{sgn}(n) \hbar \omega_c \sqrt{|n|(|n| + 1)}$$



2018-11-21

## Landau-Niveaus und Quanten-Hall-Effekt in Graphen

### └ Landauniveaus in Graphen I

- *Normales* Landauniveau: Translationsenergie in Feldrichtung weggelassen!
- Energie relativ zum Dirac-Punkt gemessen (da, wo Leitungsband und Valenzband sich berühren)
- Bei Monolage und Doppellage:  $E_n(n=0) = 0!$  Existenz eines null Energie Niveaus

#### Landauniveaus in Graphen I

##### Normale Landauniveaus

$$E_n = \left(n + \frac{1}{2}\right) \hbar \omega_c$$

##### Monolage

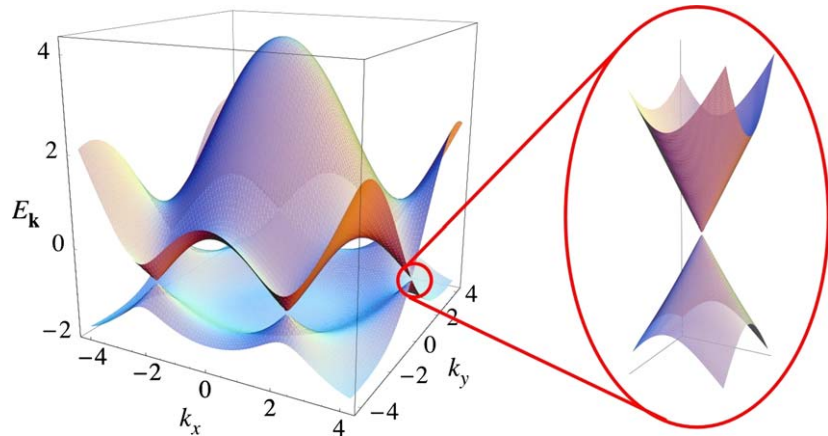
$$E_n = \text{sgn}(n) \sqrt{2e\hbar v_f^2 |n| B}$$

##### Doppellage

$$E_n = \text{sgn}(n) \hbar \omega_c \sqrt{|n|(|n| + 1)}$$



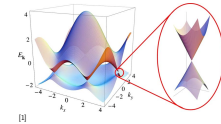
# Quanten Hall Effekt (QHE) I



[1]

2018-11-21

### Quanten Hall Effekt (QHE) I



- Bandstruktur von Graphen
- Zoom auf einen der Dirac Punkte

Bandstruktur von Graphen

# Landauniveaus in Graphen II

## Entartung der Landauniveaus in Graphen

- Landauniveaus auf gegenüberliegenden Dirac-Punkten haben das gleiche Spektrum
- Jedes Landauniveau ist damit zweifach entartet
- Das null Energie Landauniveau teilen sich Elektronen und Löcher

2018-11-21

## Landau-Niveaus und Quanten-Hall-Effekt in Graphen

### └ Landauniveaus in Graphen II

Landauniveaus in Graphen II

#### Entartung der Landauniveaus in Graphen

- Landauniveaus auf gegenüberliegenden Dirac-Punkten haben das gleiche Spektrum
- Jedes Landauniveau ist damit zweifach entartet
- Das null Energie Landauniveau teilen sich Elektronen und Löcher

- Landauniveaus auf gegenüberliegenden Dirac-Punkten (unterschiedliche Subgitter!) haben das gleiche Spektrum
- Landauniveaus zweifach entartet
- Null Energie Landauniveau teilen sich Elektronen und Löcher  
→ damit teilt es Elektronenzustände ( $\mu > 0$ ) und Lochzustände ( $\mu < 0$ )

Bandstruktur von Graphen

# Annormaler ganzzahliger Quanten Hall Effekt (QHE) in Graphen I

2018-11-21

# Landau-Niveaus und Quanten-Hall-Effekt in Graphen

## Anomaler ganzzahliger Quanten Hall Effekt (QHE) in Graphen I

└ Annormaler ganzzahliger Quanten Hall Effekt (QHE) in Graphen I

- Leitfähigkeitstensorkomponenten - *sigma*-Leitfähigkeit,  $\rho$ -Widerstand
- *xx*-longitudinale Komponente, *xy*-Hall Komponente
- Lokalisierte Zustände  $\rightarrow \sigma_{xx} = 0$
- Delokalisierte Zustände  $\rightarrow \sigma_{xx} \neq 0$

# Annormaler ganzzahliger Quanten Hall Effekt (QHE) in Graphen I

## Leitfähigkeitstensor Komponenten

$$\rho_{xx} = \frac{\sigma_{xx}}{\sigma_{xx}^2 + \sigma_{xy}^2}, \quad \rho_{xy} = \frac{\sigma_{xy}}{\sigma_{xx}^2 + \sigma_{xy}^2}$$

$\sigma_{xx}(\rho_{xx})$ -longitudinale Komponente,  $\sigma_{xy}(\rho_{xy})$ -Hall Komponente

2018-11-21

## Landau-Niveaus und Quanten-Hall-Effekt in Graphen

### └ Annormaler ganzzahliger Quanten Hall Effekt (QHE) in Graphen I

Annormaler ganzzahliger Quanten Hall Effekt (QHE) in Graphen I

Leitfähigkeitstensor Komponenten

$$\rho_{xx} = \frac{\sigma_{xx}}{\sigma_{xx}^2 + \sigma_{xy}^2}, \quad \rho_{xy} = \frac{\sigma_{xy}}{\sigma_{xx}^2 + \sigma_{xy}^2}$$

$\sigma_{xx}(\rho_{xx})$ -longitudinale Komponente,  $\sigma_{xy}(\rho_{xy})$ -Hall Komponente

- Leitfähigkeitstensor Komponenten - *sigma*-Leitfähigkeit,  $\rho$ -Widerstand
- xx-longitudinale Komponente, xy-Hall Komponente
- Lokalisierte Zustände  $\rightarrow \sigma_{xx} = 0$
- Delokalisierte Zustände  $\rightarrow \sigma_{xx} \neq 0$

# Annormaler ganzzahliger Quanten Hall Effekt (QHE) in Graphen I

## Leitfähigkeitstensor Komponenten

$$\rho_{xx} = \frac{\sigma_{xx}}{\sigma_{xx}^2 + \sigma_{xy}^2}, \quad \rho_{xy} = \frac{\sigma_{xy}}{\sigma_{xx}^2 + \sigma_{xy}^2}$$

$\sigma_{xx}(\rho_{xx})$ -longitudinale Komponente,  $\sigma_{xy}(\rho_{xy})$ -Hall Komponente

## Chemisches Potential in Region von

2018-11-21

## Landau-Niveaus und Quanten-Hall-Effekt in Graphen

### └ Annormaler ganzzahliger Quanten Hall Effekt (QHE) in Graphen I

Annormaler ganzzahliger Quanten Hall Effekt (QHE) in Graphen I

Leitfähigkeitstensor Komponenten

$$\rho_{xx} = \frac{\sigma_{xx}}{\sigma_{xx}^2 + \sigma_{xy}^2}, \quad \rho_{xy} = \frac{\sigma_{xy}}{\sigma_{xx}^2 + \sigma_{xy}^2}$$

$\sigma_{xx}(\rho_{xx})$ -longitudinale Komponente,  $\sigma_{xy}(\rho_{xy})$ -Hall Komponente

Chemisches Potential in Region von

- Leitfähigkeitstensor Komponenten - *sigma*-Leitfähigkeit,  $\rho$ -Widerstand
- xx-longitudinale Komponente, xy-Hall Komponente
- Lokalisierte Zustände  $\rightarrow \sigma_{xx} = 0$
- Delokalisierte Zustände  $\rightarrow \sigma_{xx} \neq 0$

# Anormaler ganzzahliger Quanten Hall Effekt (QHE) in Graphen I

## Leitfähigkeitstensorkomponenten

$$\rho_{xx} = \frac{\sigma_{xx}}{\sigma_{xx}^2 + \sigma_{xy}^2}, \quad \rho_{xy} = \frac{\sigma_{xy}}{\sigma_{xx}^2 + \sigma_{xy}^2}$$

$\sigma_{xx}(\rho_{xx})$ -longitudinale Komponente,  $\sigma_{xy}(\rho_{xy})$ -Hall Komponente

## Chemisches Potential in Region von

- lokalisierten Zuständen  $\rightarrow \sigma_{xx} = 0 \rightarrow \rho_{xx} = 0, \rho_{xy} = \frac{1}{\sigma_{xy}}$

2018-11-21

## Landau-Niveaus und Quanten-Hall-Effekt in Graphen

### └ Anormaler ganzzahliger Quanten Hall Effekt (QHE) in Graphen I

Anormaler ganzzahliger Quanten Hall Effekt (QHE) in Graphen I

Leitfähigkeitstensorkomponenten

$$\rho_{xx} = \frac{\sigma_{xx}}{\sigma_{xx}^2 + \sigma_{xy}^2}, \quad \rho_{xy} = \frac{\sigma_{xy}}{\sigma_{xx}^2 + \sigma_{xy}^2}$$

$\sigma_{xx}(\rho_{xx})$ -longitudinale Komponente,  $\sigma_{xy}(\rho_{xy})$ -Hall Komponente

Chemisches Potential in Region von

- lokalisierten Zuständen  $\rightarrow \sigma_{xx} = 0 \rightarrow \rho_{xx} = 0, \rho_{xy} = \frac{1}{\sigma_{xy}}$

- Leitfähigkeitstensorkomponenten - *sigma*-Leitfähigkeit,  $\rho$ -Widerstand
- xx-longitudinale Komponente, xy-Hall Komponente
- Lokalisierte Zustände  $\rightarrow \sigma_{xx} = 0$
- Delokalisierte Zustände  $\rightarrow \sigma_{xx} \neq 0$

# Annormaler ganzzahliger Quanten Hall Effekt (QHE) in Graphen I

## Leitfähigkeitstensor Komponenten

$$\rho_{xx} = \frac{\sigma_{xx}}{\sigma_{xx}^2 + \sigma_{xy}^2}, \quad \rho_{xy} = \frac{\sigma_{xy}}{\sigma_{xx}^2 + \sigma_{xy}^2}$$

$\sigma_{xx}(\rho_{xx})$ -longitudinale Komponente,  $\sigma_{xy}(\rho_{xy})$ -Hall Komponente

## Chemisches Potential in Region von

- lokalisierten Zuständen  $\rightarrow \sigma_{xx} = 0 \rightarrow \rho_{xx} = 0, \rho_{xy} = \frac{1}{\sigma_{xy}}$
- delokalisierten Zuständen  $\rightarrow \sigma_{xx} \neq 0$

## └ Annormaler ganzzahliger Quanten Hall Effekt (QHE) in Graphen I

$$\rho_{xx} = \frac{\sigma_{xx}}{\sigma_{xx}^2 + \sigma_{xy}^2}, \quad \rho_{xy} = \frac{\sigma_{xy}}{\sigma_{xx}^2 + \sigma_{xy}^2}$$

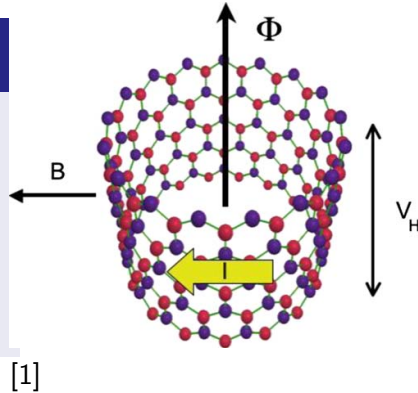
$\sigma_{xx}(\rho_{xx})$ -longitudinale Komponente,  $\sigma_{xy}(\rho_{xy})$ -Hall Komponente

- lokalisierten Zuständen  $\rightarrow \sigma_{xx} = 0 \rightarrow \rho_{xx} = 0, \rho_{xy} = \frac{1}{\sigma_{xy}}$
- delokalisierten Zuständen  $\rightarrow \sigma_{xx} \neq 0$

- Leitfähigkeitstensor Komponenten - *sigma*-Leitfähigkeit,  $\rho$ -Widerstand
- xx-longitudinale Komponente, xy-Hall Komponente
- Lokalisierte Zustände  $\rightarrow \sigma_{xx} = 0$
- Delokalisierte Zustände  $\rightarrow \sigma_{xx} \neq 0$

# Annormaler ganzzahliger Quanten Hall Effekt (QHE) in Graphen II

## Laughlins Gedankenexperiment für lokalisierte Zustände

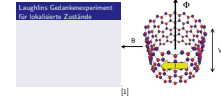


2018-11-21

## Landau-Niveaus und Quanten-Hall-Effekt in Graphen

### └ Annormaler ganzzahliger Quanten Hall Effekt (QHE) in Graphen II

Annormaler ganzzahliger Quanten Hall Effekt (QHE) in Graphen II



- Lorentzkraft erzeugt Hall-Spannung orthogonal zu Feld und Strom
- Lokalisierte Zustände reagieren **nicht** auf Änderungen des Flusses  $\Phi$  (nur die delokalisierten)
- Alle Zustände unter dem chemischen Potential vor und nach Änderung von  $\Phi$  besetzt
- **Aber:** Eine ganzzahlige Anzahl Zustände kommt auf einer Seite rein und verlässt den Zylinder auf der anderen Seite

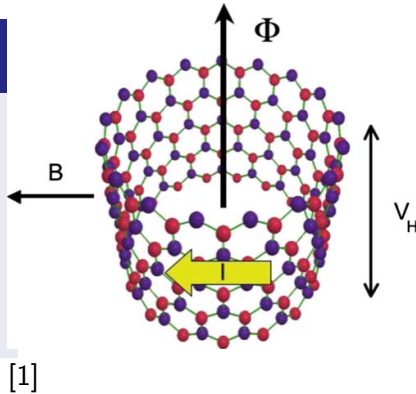


# Annormaler ganzzahliger Quanten Hall Effekt (QHE) in Graphen II

Laughlins Gedankenexperiment  
für lokalisierte Zustände

$$I = c \frac{\delta E}{\delta \Phi},$$

$E$ -Gesamtenergie des Systems,  
 $\Phi$ -Magnetischer Fluss

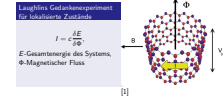


2018-11-21

Landau-Niveaus und Quanten-Hall-Effekt in Graphen

└ Annormaler ganzzahliger Quanten Hall Effekt (QHE) in Graphen II

Annormaler ganzzahliger Quanten Hall Effekt (QHE) in Graphen II



- Lorentzkraft erzeugt Hall-Spannung orthogonal zu Feld und Strom
- Lokalisierte Zustände reagieren **nicht** auf Änderungen des Flusses  $\Phi$  (nur die delokalisierten)
- Alle Zustände unter dem chemischen Potential vor und nach Änderung von  $\Phi$  besetzt
- **Aber:** Eine ganzzahlige Anzahl Zustände kommt auf einer Seite rein und verlässt den Zylinder auf der anderen Seite

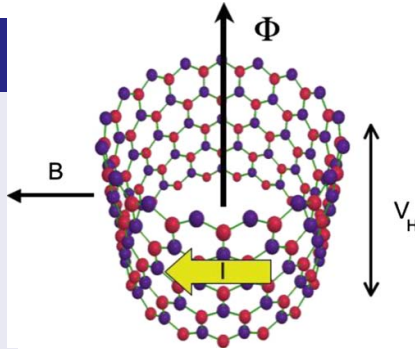
# Annormaler ganzzahliger Quanten Hall Effekt (QHE) in Graphen II

## Laughlins Gedankenexperiment für lokalisierte Zustände

$$I = c \frac{\delta E}{\delta \Phi},$$

$E$ -Gesamtenergie des Systems,  
 $\Phi$ -Magnetischer Fluss  
→ betrachte Flussänderung  
 $\delta\Phi = hc/e$  (eine Flussquante)

[1]

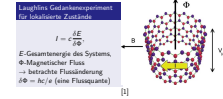


2018-11-21

## Landau-Niveaus und Quanten-Hall-Effekt in Graphen

### └ Annormaler ganzzahliger Quanten Hall Effekt (QHE) in Graphen II

Annormaler ganzzahliger Quanten Hall Effekt (QHE) in Graphen II



- Lorentzkraft erzeugt Hall-Spannung orthogonal zu Feld und Strom
- Lokalisierte Zustände reagieren **nicht** auf Änderungen des Flusses  $\Phi$  (nur die delokalisierten)
- Alle Zustände unter dem chemischen Potential vor und nach Änderung von  $\Phi$  besetzt
- **Aber:** Eine ganzzahlige Anzahl Zustände kommt auf einer Seite rein und verlässt den Zylinder auf der anderen Seite

# Annormaler ganzzahliger Quanten Hall Effekt (QHE) in Graphen II

## Falscher Ansatz

- Alle Landauniveaus beteiligt

2018-11-21

## Landau-Niveaus und Quanten-Hall-Effekt in Graphen

### └ Annormaler ganzzahliger Quanten Hall Effekt (QHE) in Graphen II

- Alle Landauniveaus beteiligt  $\rightarrow$  4 wegen der zweifachen Spinentartung und der zweifachen Quasispinentartung
- $\mu$  bei Dirac-Punkt  $\Leftrightarrow$  Halb gefüllte Zustände
- Nach vorheriger Ausführung existiert ein Landauniveau für  $n = 0$ , also kann da kein Hallplateau liegen
- Richtiger Ansatz: Berücksichtigung des null Energie Niveaus

Annormaler ganzzahliger Quanten Hall Effekt (QHE) in Graphen II

Falscher Ansatz

- Alle Landauniveaus beteiligt

# Annormaler ganzzahliger Quanten Hall Effekt (QHE) in Graphen II

## Falscher Ansatz

- Alle Landauniveaus beteiligt

$$\rightarrow \delta E_{\text{inc}} = \pm 4neV_H$$

$$\rightarrow I_{\text{inc}} = \pm 4(e^2/h)V_H$$

2018-11-21

## Landau-Niveaus und Quanten-Hall-Effekt in Graphen

### └ Annormaler ganzzahliger Quanten Hall Effekt (QHE) in Graphen II

Annormaler ganzzahliger Quanten Hall Effekt (QHE) in Graphen II

#### Falscher Ansatz

- Alle Landauniveaus beteiligt

$$\rightarrow \delta E_{\text{inc}} = \pm 4neV_H$$

$$\rightarrow I_{\text{inc}} = \pm 4(e^2/h)V_H$$

- Alle Landauniveaus beteiligt  $\rightarrow$  4 wegen der zweifachen Spinartung und der zweifachen Quasispinentartung
- $\mu$  bei Dirac-Punkt  $\Leftrightarrow$  Halb gefüllte Zustände
- Nach vorheriger Ausführung existiert ein Landauniveau für  $n = 0$ , also kann da kein Hallplateau liegen
- Richtiger Ansatz: Berücksichtigung des null Energie Niveaus

# Annormaler ganzzahliger Quanten Hall Effekt (QHE) in Graphen II

## Falscher Ansatz

- Alle Landauniveaus beteiligt

$$\rightarrow \delta E_{\text{inc}} = \pm 4neV_H$$

$$\rightarrow I_{\text{inc}} = \pm 4(e^2/h)V_H \rightarrow \sigma_{xy,\text{inc}} = \frac{I}{V_H} = \pm 4ne^2/h$$

2018-11-21

## Landau-Niveaus und Quanten-Hall-Effekt in Graphen

### └ Annormaler ganzzahliger Quanten Hall Effekt (QHE) in Graphen II

Annormaler ganzzahliger Quanten Hall Effekt (QHE) in Graphen II

#### Falscher Ansatz

- Alle Landauniveaus beteiligt

$$\rightarrow \delta E_{\text{inc}} = \pm 4neV_H$$

$$\rightarrow I_{\text{inc}} = \pm 4(e^2/h)V_H \rightarrow \sigma_{xy,\text{inc}} = \frac{I}{V_H} = \pm 4ne^2/h$$

- Alle Landauniveaus beteiligt  $\rightarrow$  4 wegen der zweifachen Spinentartung und der zweifachen Quasispinentartung
- $\mu$  bei Dirac-Punkt  $\Leftrightarrow$  Halb gefüllte Zustände
- Nach vorheriger Ausführung existiert ein Landauniveau für  $n = 0$ , also kann da kein Hallplateau liegen
- Richtiger Ansatz: Berücksichtigung des null Energie Niveaus

# Annormaler ganzzahliger Quanten Hall Effekt (QHE) in Graphen II

## Falscher Ansatz

- Alle Landauniveaus beteiligt

$$\rightarrow \delta E_{\text{inc}} = \pm 4neV_H$$

$$\rightarrow I_{\text{inc}} = \pm 4(e^2/h)V_H \rightarrow \sigma_{xy,\text{inc}} = \frac{I}{V_H} = \pm 4ne^2/h$$

- ⚡ Hall-Plateau bei  $n = 0$ , wenn  $\mu$  auf dem Dirac-Punkt liegt

2018-11-21

## Landau-Niveaus und Quanten-Hall-Effekt in Graphen

### └ Annormaler ganzzahliger Quanten Hall Effekt (QHE) in Graphen II

Annormaler ganzzahliger Quanten Hall Effekt (QHE) in Graphen II

#### Falscher Ansatz

- Alle Landauniveaus beteiligt  
 $\rightarrow \delta E_{\text{inc}} = \pm 4neV_H$   
 $\rightarrow I_{\text{inc}} = \pm 4(e^2/h)V_H \rightarrow \sigma_{xy,\text{inc}} = \frac{I}{V_H} = \pm 4ne^2/h$
- ⚡ Hall-Plateau bei  $n = 0$ , wenn  $\mu$  auf dem Dirac-Punkt liegt

- Alle Landauniveaus beteiligt  $\rightarrow 4$  wegen der zweifachen Spinentartung und der zweifachen Quasispinentartung
- $\mu$  bei Dirac-Punkt  $\Leftrightarrow$  Halb gefüllte Zustände
- Nach vorheriger Ausführung existiert ein Landauniveau für  $n = 0$ , also kann da kein Hallplateau liegen
- Richtiger Ansatz: Berücksichtigung des null Energie Niveaus

# Annormaler ganzzahliger Quanten Hall Effekt (QHE) in Graphen II

## Falscher Ansatz

- Alle Landauniveaus beteiligt  
→  $\delta E_{\text{inc}} = \pm 4neV_H$   
→  $I_{\text{inc}} = \pm 4(e^2/h)V_H \rightarrow \sigma_{xy,\text{inc}} = \frac{I}{V_H} = \pm 4ne^2/h$
- ⚡ Hall-Plateau bei  $n = 0$ , wenn  $\mu$  auf dem Dirac-Punkt liegt

## Richtiger Ansatz

- Berücksichtigung des null Energie Niveaus



2018-11-21

## Landau-Niveaus und Quanten-Hall-Effekt in Graphen

### └ Annormaler ganzzahliger Quanten Hall Effekt (QHE) in Graphen II

Annormaler ganzzahliger Quanten Hall Effekt (QHE) in Graphen II

#### Falscher Ansatz

- Alle Landauniveaus beteiligt  
→  $\delta E_{\text{inc}} = \pm 4neV_H$   
→  $I_{\text{inc}} = \pm 4(e^2/h)V_H \rightarrow \sigma_{xy,\text{inc}} = \frac{I}{V_H} = \pm 4ne^2/h$
- ⚡ Hall-Plateau bei  $n = 0$ , wenn  $\mu$  auf dem Dirac-Punkt liegt

#### Richtiger Ansatz

- Berücksichtigung des null Energie Niveaus

- Alle Landauniveaus beteiligt → 4 wegen der zweifachen Spinentartung und der zweifachen Quasispinentartung
- $\mu$  bei Dirac-Punkt  $\Leftrightarrow$  Halb gefüllte Zustände
- Nach vorheriger Ausführung existiert ein Landauniveau für  $n = 0$ , also kann da kein Hallplateau liegen
- Richtiger Ansatz: Berücksichtigung des null Energie Niveaus

Falscher Ansatz
<ul style="list-style-type: none"> <li>■ Alle Landauniveaus beteiligt</li> <li>→ <math>\delta E_{\text{inc}} = \pm 4neV_H</math></li> <li>→ <math>I_{\text{inc}} = \pm 4(e^2/h)V_H \rightarrow \sigma_{xy,\text{inc}} = \frac{I}{V_H} = \pm 4ne^2/h</math></li> <li>■ ⚡ Hall-Plateau bei <math>n = 0</math>, wenn <math>\mu</math> auf dem Dirac-Punkt liegt</li> </ul>
Richtiger Ansatz
<ul style="list-style-type: none"> <li>■ Berücksichtigung des null Energie Niveaus</li> <li>→ <math>\delta E = \pm 2(2n+1)eV_H</math></li> <li>→ <math>\sigma_{xy} = \pm 2(2n+1)\frac{e^2}{h}</math></li> </ul>

## └ Anormaler ganzzahliger Quanten Hall Effekt (QHE) in Graphen II

### Falscher Ansatz

- Alle Landauniveaus beteiligt
  - $\delta E_{\text{inc}} = \pm 4neV_H$
  - $I_{\text{inc}} = \pm 4(e^2/h)V_H \rightarrow \sigma_{xy,\text{inc}} = \frac{I}{V_H} = \pm 4ne^2/h$
- ⚡ Hall-Plateau bei  $n = 0$ , wenn  $\mu$  auf dem Dirac-Punkt liegt

### Richtiger Ansatz

- Berücksichtigung des null Energie Niveaus
  - $\delta E = \pm 2(2n+1)eV_H$
  - $\sigma_{xy} = \pm 2(2n+1)\frac{e^2}{h}$

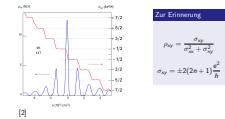


- Alle Landauniveaus beteiligt → 4 wegen der zweifachen Spinartung und der zweifachen Quasispinentartung
- $\mu$  bei Dirac-Punkt  $\Leftrightarrow$  Halb gefüllte Zustände
- Nach vorheriger Ausführung existiert ein Landauniveau für  $n = 0$ , also kann da kein Hallplateau liegen
- Richtiger Ansatz: Berücksichtigung des null Energie Niveaus



2018-11-21

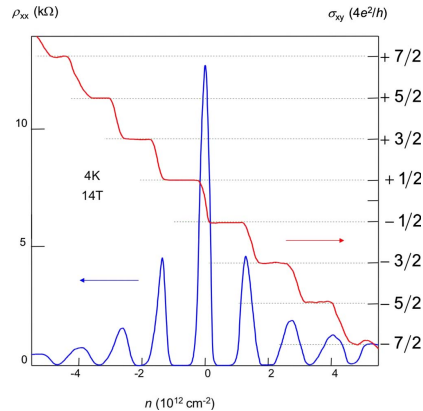
## └ Anormaler ganzzahliger Quanten Hall Effekt (QHE) in Graphen II



### Zur Erinnerung

$$\rho_{xy} = \frac{\sigma_{xy}}{\sigma_{xx}^2 + \sigma_{xy}^2}$$

$$\sigma_{xy} = \pm 2(2n + 1) \frac{e^2}{h}$$



[2]